

ОПТИЧЕСКИЕ СВОЙСТВА МОНОКРИСТАЛЛОВ СУЛЬФИДА И СЕЛЕНИДА ТЕРБИЯ

© A.B. Прокофьев, А.И. Шелых

Физико-технический институт им. А.Ф. Иоффе Российской академии наук,
194021 Санкт-Петербург, Россия
(Получена 17 февраля 1995 г. Принята к печати 28 февраля 1995 г.)

Ион тербия Tb^{+3} является аналогом иона церия Ce^{+3} — оба характеризуются аномально низкой величиной энергии перехода $4f^N \rightarrow 4f^{N-1}5d$. Ранее были обнаружены необычные оптические свойства сульфида и селенида церия, обусловленные, предположительно, этим переходом. В данной работе исследуются спектры пропускания, показатели преломления и эффект Фарадея сульфида и селенида тербия. Показано, что по расположению края фундаментального поглощения халькогениды тербия не имеют аномалий в ряду редкоземельных элементов. Поведение эффекта Фарадея в Tb_2S_3 и Tb_2Se_3 отличается от такового в сульфидах и селенидах редкоземельных элементов начала ряда.

Интерес к халькогенидам редкоземельных элементов (РЗЭ), кристаллизующимся в структуре типа фосфида тория, возник в связи с тем, что в сульфидах РЗЭ в 1980-е годы был обнаружен комплекс свойств, благодаря которым эти материалы можно считать перспективными для применения в оптоэлектронных устройствах [1]. В селенидах легких РЗЭ, монокристаллы которых впервые были получены в [2], исследовался в первую очередь эффект Фарадея (ЭФ). Парамагнитный ЭФ, как было показано в этой работе, весьма велик в селенидах, в частности, благодаря высоким значениям показателя преломления, от которого ЭФ сильно зависит. Максимальная величина эффекта наблюдалась в селениде и сульфиде церия. Считается, что соединения РЗЭ ЭФ определяется главным образом электродипольным переходом $4f^N \rightarrow 4f^{N-1}5d$ [3]. В трехвалентном ионе церия этот переход по энергии наиболее близок к краю области прозрачности халькогенидов церия. Ион церия имеет один избыточный f -электрон по сравнению с устойчивой $4f^0$ -конфигурацией, что обуславливает низкую энергию перехода. В некоторой мере аналогом иона церия является ион тербия Tb^{+3} , в котором появляется восьмой f -электрон, или первый после устойчивой $4f^7$ -конфигурации. Действительно, энергии перехода $4f^N \rightarrow 4f^{N-1}5d$ в трехвалентном ионе тербия в свободном состоянии [4] или во фторидах [5] оказываются, как и у иона Ce^{+3} , аномально низкими. Поэтому следовало бы ожидать большой ЭФ в сульфиде и селенидах редкоземельных элементов начала ряда.

селениде тербия, тем более, что магнитный момент μ иона Tb^{+3} в 3 раза выше, чем иона Ce^{+3} ($7.56\mu_B$ и $2.54\mu_B$ соответственно), а величина ЭФ пропорциональна μ .

Задачей данной работы являлось исследование в основном ЭФ сульфида и селенида тербия, а также других оптических свойств.

1. Методика эксперимента

Синтез соединений проводился по реакции сульфидирования и селенидирования окиси тербия. Монокристаллы получались выращиванием из расплава в атмосферах, предотвращающих термическую диссоциацию соединений. Этот способ позволяет получать прозрачные кристаллы, пригодные для измерения оптических свойств [2,6]. Из рентгеноструктурного анализа установлено, что это кубические кристаллы структурного типа Tb_3P_4 (γ -фаза) с параметрами $a = 8.290$ и 8.677 \AA для Tb_2S_3 и Tb_2Se_3 соответственно. Оптические свойства кристаллов исследовались на пластинках толщиной $0.8 \div 3.0 \text{ mm}$, вырезанных из кристаллов и полированных. Были измерены коротковолновые и длинноволновые участки спектра пропускания в диапазоне $0.5 \div 1.25$ и $20 \div 35 \text{ mkm}$, показатели преломления n и ЭФ в диапазоне $500 \div 100 \text{ nm}$. Показатель преломления измерялся методом призмы. Призмы вырезались из кристаллов и имели угол 9.5° . Измерения n проводились на длине волны 633 nm . Получены значения $n = 2.80$ и 2.92 для Tb_2S_3 и Tb_2Se_3 соответственно. Все измерения проводились при комнатной температуре.

2. Результаты и их обсуждение

Длинноволновая часть спектра пропускания селенида тербия показана на рис. 1. Край поглощения, обусловленный решеточными колебаниями, лежит около 33 nm . Для сравнения: характерное положение краев поглощения сульфидов РЗЭ находится при более коротких волнах, около 25 mkm [7]. Таким образом, селениды имеют более широкую область прозрачности в инфракрасном диапазоне по сравнению с сульфидами РЗЭ.

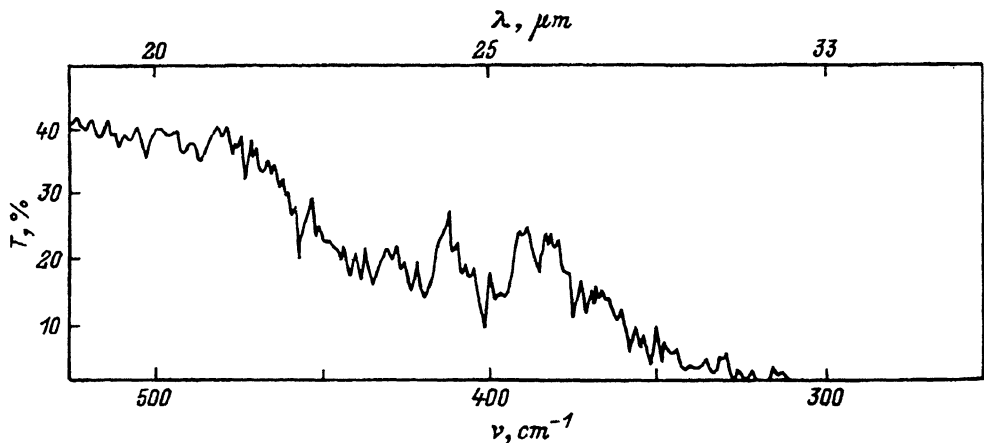


Рис. 1. Инфракрасный спектр пропускания Tb_2Se_3 .

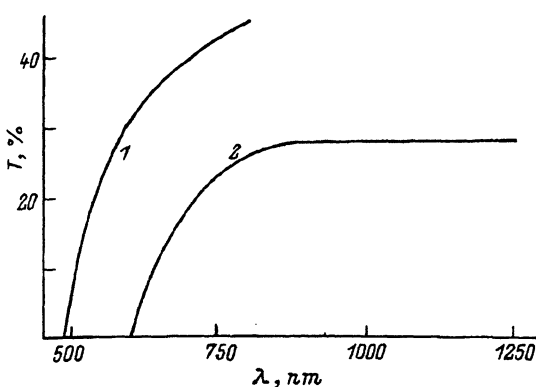


Рис. 2. Спектры пропускания Tb_2S_3 (1) и Tb_2Se_3 (2).

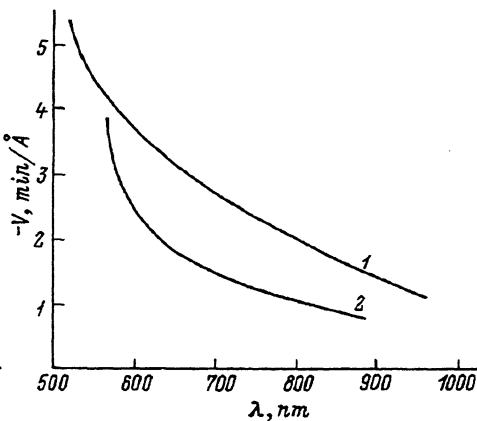


Рис. 3. Спектр постоянной Верде Tb_2S_3 (1) и Tb_2Se_3 (2).

Пропускание со стороны коротких волн представлено на рис. 2. Из положения краев поглощения оценена ширина запрещенной зоны E_g этих соединений. Она составляет 2.2 эВ для Tb_2Se_3 и 2.55 эВ для Tb_2S_3 . Вследствие аномально высокого положения по энергии $4f$ -зоны в ионе Tb^{+3} можно было ожидать меньших величин запрещенной зоны, как это наблюдалось в халькогенидах церия [2]. В [2] предлагалось объяснение этого явления для соединений церия в предположении, что f -зона находится выше валентной зоны, образованной преимущественно p -составляющими халькогенов. Однако в халькогенидах тербия аномалии в данных по запрещенной зоне E_g нами не обнаружено. Несколько меньшее значение E_g для сульфида тербия по сравнению с сульфидами соседних по ряду лантаноидов гадолиния и диспрозия (2.7 и 2.8 эВ), вероятно, объясняется тем, что вблизи края поглощения Tb^{+3} имеется полоса поглощения, связанная с $f - f$ -переходом этого иона (2.58 эВ). Это поглощение могло привести к тому, что нами была получена заниженная величина E_g .

Таким образом, по-видимому, нет оснований считать сульфид и селенид тербия отличающимися принципиально от других РЗЭ схемой расположения энергетических зон, как это предполагается для халькогенидов церия.

Все же высокое положение по энергии $4f$ -уровней в трехвалентном ионе тербия могло проявиться в большой величине эффекта Фарадея. Зависимость постоянной Верде V (величины, количественно характеризующей ЭФ) от длины волны для Tb_2S_3 и Tb_2Se_3 приведена на рис. 3. Во всем исследуемом диапазоне длин волн эффект имеет большую величину для сульфида, чем для селенида, т. е. $V(\text{Tb}_2\text{S}_3) > V(\text{Tb}_2\text{Se}_3)$. В работе [2], где исследовался ЭФ легких РЗЭ (от Ce до Nd), наблюдалось обратное соотношение — $V(\text{Ln}_2\text{S}_3) < V(\text{Ln}_2\text{Se}_3)$. В [8] постоянная Верде для парамагнитных соединений приводится в следующем виде:

$$V = \frac{2\pi e^2 \mu E N_i}{9cmkT} \frac{(n^2 + 2)^2}{n} \sum_k \frac{f_k}{E_k^2 - E^2}, \quad (1)$$

где n — показатель преломления, E — энергия фотона, N_i — плотность парамагнитных ионов, μ — магнитный момент иона, E_k и f_k — энергия и сила осциллятора оптического перехода.

Если принять, что для сульфида и селенида тербия определяющим в ЭФ является один и тот же переход $4f^N \rightarrow 4f^{N-1}5d$, то различие в постоянной Верде между ними будет связано только с различными значениями показателя преломления n и плотности ионов тербия N_i . В селенидах n больше, но N_i меньше, чем в сульфидах.

Попробуем количественно оценить вклад этих двух факторов в величину ЭФ. (Плотность ионов тербия можно определить исходя из параметра кубической элементарной ячейки полуторных селенида и сульфида).

Для легких РЗЭ из расчета по формуле (1) в селенидах V больше, чем в сульфидах — $V(\text{Ln}_2\text{Se}_3)/V(\text{Ln}_2\text{S}_3) = 1.14$. Из эксперимента получена величина 1.25 [2]. Для тербия расчет дает $V(\text{Tb}_2\text{Se}_3)/V(\text{Tb}_2\text{S}_3) = 1$. Однако нами из измерений в диапазоне 500÷1000 нм установлено, что постоянная Верде селенида тербия меньше, чем постоянная Верде сульфида тербия. В частности, для $\lambda = 633$ нм $V(\text{Tb}_2\text{S}_3)/V(\text{Tb}_2\text{Se}_3) = 1.4$. Очевидно, это расхождение объясняется влиянием неучтенных факторов, стоящих в формуле (1) под знаком суммы.

Этим же объясняется большая величина ЭФ в сульфиде тербия по сравнению с сульфидом диспрозия [1]. Магнитный момент иона диспрозия ($10.8\mu_B$) больше магнитного момента иона тербия ($7.56\mu_B$). Тем не менее постоянная Верде Tb_2S_3 больше постоянной Верде Dy_2S_3 примерно в 1.4 раза. По-видимому, как это и ожидалось, энергия перехода $4f^N \rightarrow 4f^{N-1}5d$, определяющая ЭФ в полуторных халькогенидах РЗЭ, имеет меньшее значение для иона Tb^{+3} , чем для иона Dy^{+3} .

Работа выполнена при финансовой поддержке Российского фонда фундаментальных исследований (93-02-3673).

Список литературы

- [1] В.П. Жузе, А.И. Шелых. ФТП, **23**, 393 (1989).
- [2] А.В. Прокофьев, А.И. Шелых, А.В. Голубков, Н.В. Шаренкова. Неорг. матер., **30**, 342 (1994).
- [3] J.M. Weber. Soc. Photoopt. Instrum. Engin., **681**, 75 (1986).
- [4] G.H. Dieke. *Spectra and Energy Levels of Rare Earth Ions in Crystals*. (Wiley Interscience, N. Y., 1968).
- [5] W.S. Heaps, L.R. Elias, W.M. Yen. Phys. Rev. B, **13**, 94 (1976).
- [6] A.A. Kamarsin, K.E. Mironov, V.V. Sokolov, Yu.N. Malovitskii, I.G. Vasil'eva. J. Cryst. Growth, **52**, 619 (1981).
- [7] В.Л. Константинов, Г.П. Скорняков, А.А. Камарзин, В.В. Соколов. Неорг. матер., **14**, 843 (1978).
- [8] М.В. Волькенштейн. *Молекулярная оптика* (М.; Л., 1951).

Редактор Л.В. Шаронова

Optical properties of terbium sulphide and terbium selenide single crystals

A.V. Prokofiev, A.I. Shelykh

A.F. Ioffe Physicotechnical Institute, Russian Academy of Sciences,
194021 St. Petersburg, Russia
